

# ОПИСАНИЕ УПРУГОГО РАССЕЯНИЯ В МЕТОДЕ *U*-МАТРИЦЫ

*B.Ф. Единеров, С.М. Трошин, Н.Е. Тюрин, О.А. Хрусталев*

Проведен анализ упругого  $pp$ -рассеяния, основанный на использовании обобщенной матрицы реакций (*U*-матрицы). Получено хорошее согласие с экспериментальными данными по  $\sigma_{tot}$  ( $pp$ ), начиная с энергии 30 ГэВ, и  $d\sigma/dt$  ( $pp$ ) для четырех энергий ISR.

1. В работе [1] был предложен способ связи прямого и аннигиляционного каналов реакции, основанный на аналогическом продолжении в кросс-канал *U*-матрицы, связанной с амплитудой рассеяния одновременным уравнением в квантовой теории поля [2]. Этот способ связи каналов сохраняет унитарность при переходе в *s*-канал без каких-либо дополнительных предположений о поведении траекторий или ограничений на величину константы связи и позволяет простым и единым образом рассматривать все допустимые условия унитарности режимы в поведении сечений взаимодействий адронов.

В работах [1, 3] была получена реджевская асимптотика для четной и нечетной частей *U*-матрицы при высоких энергиях *s*-канала:

$$U^\pm(s, t) = -g^\pm(t) \xi^\pm(t) s^{\beta^\pm(t)}, \quad (1)$$

где  $\xi^\pm(t)$  – сигнатурные множители, а ведущие траектории обозначены через  $\beta^\pm(t)$ . Отметим, что при выводе формулы (1) не накладывается ограничение  $\beta(0) \leq 1$ , необходимое для сохранения унитарности в прямом канале в случае, когда осуществляется аналитическое продолжение амплитуды. Амплитуда рассеяния в *s*-канале находится как решение релятивистского уравнения теории затухания [2], которое в системе центра имеет следующий вид:

$$F^\pm(p, q) = U^\pm(p, q) + \frac{i\pi q}{4\sqrt{s}} \int d\Omega_k^\pm U^\pm(p, k) F^\pm(k, q), \quad (2)$$

где  $p = k = q$ ,  $F^\pm(p, q)$  – амплитуда рассеяния в инвариантной нормировке. В парциальных волнах уравнение (2) сводится к алгебраическому. Переходя к представлению прицельного параметра, представим амплитуду рассеяния в виде

$$F(s, t) = \frac{is}{\pi^2} \int_0^\infty \frac{U(b, s)}{1 + U(b, s)} J_0(b\sqrt{-t}) b db, \quad (3)$$

где  $iU(b, s)$  определяется преобразованием функции Бесселя  $U(s, t)$ . Считая функцию  $g(t)$  постоянной, а траекторию  $\beta(t)$  линейной, получим

$U(b, s) = u(s) \exp(-b^2/a)$ , где  $u(s) = 2\pi^2 g_i \xi(0) a^{-1}(s) s^{\beta(0)-1}$  и  $a(s) = 4\beta'(0)[\ln s - i(\pi/2)]$ . Тогда для полного сечения находим  $\sigma_{tot}(s) = 4\pi \operatorname{Re}\{a(s) \ln[1+u(s)]\}$ , откуда нетрудно видеть, что асимптотический член в полном сечении  $\sigma_{tot}^{(\infty)}(s) \sim s^{\beta(0)-1}$ , если  $\beta(0) < 1$ . Когда  $\beta(0) > 1$ , то имеем  $\sigma_{tot}^{(\infty)}(s) = 16\pi\beta'(0)[\beta(0)-1]\ln^2 s$ . Оценим интеграл (3) для  $t \neq 0$ . Воспользуемся для этого асимптотическим представлением функции Бесселя:  $I_0(z) \approx (2/\pi z)^{1/2} \operatorname{Re} \exp[i z - i(\pi/4)]$ . Тогда нетрудно получить следующую оценку:

$$F(s, t) = i s (4/\pi)^2 \sqrt{a^2(s) B(s, t)} \exp\left\{-i \frac{\pi}{2} \sqrt{-t B(s, t)}\right\} \times \\ \times \cos\left[\sqrt{\frac{-t}{4B(s, t)}} \left(\frac{a(s)}{2} - i\pi\beta(0)\right)\right], \quad (4)$$

где  $B(s, t)$  — медленно меняющаяся функция  $s$  и  $t$ , причем  $B(s, t) \rightarrow \text{const}$  при  $s \rightarrow \infty$ . Отметим появление осциллирующего множителя в выражении для амплитуды, а также то, что функция, стоящая под знаком косинуса при  $s \rightarrow \infty$  пропорциональна  $\ln s \sqrt{-t}$ . Появление  $\ln s$  является следствием того, что  $u(s) \sim s^{\beta(0)-1}$ ,  $\beta(0) > 1$ , т. е. связано с ростом полного сечения взаимодействия при  $s \rightarrow \infty$ . Таким образом, осцилляции в угловом распределении упругого рассеяния должны становиться более заметными с ростом энергии, и в рамках настоящего подхода это связано с ростом  $\sigma_{tot}(s)$  при  $s \rightarrow \infty$ . Нетрудно видеть, что в случае малых передач импульса оценка для амплитуды имеет следующий вид:

$$F(s, t) \sim \exp(a(s)t/2).$$

2. На основе представления (3) для амплитуды рассеяния, когда функция  $U^+(s, t)$  определяется суммой двух членов типа (1), было проведено сравнение с экспериментальными данными по упругому  $pp$ -рассеянию. Функции  $g(t)$  и  $g_1(t)$  параметризовались в виде  $g \exp(bt)$  и  $g_1 \exp(b_1 t)$  соответственно. В качестве функции  $\beta_1(t)$  была выбрана линейная траектория, проходящая через  $A_2$ -мезон:  $\beta_1(0) + m_{A_2}^2 \beta'_1(0) = 2$ . Параметр  $s$  был введен для второго полюса, для первого полюса  $s_0 = 1 \Gamma \varrho \varepsilon^2$ . Таким образом, согласование с экспериментальными данными по  $\sigma_{tot}(pp)$  в области энергий ИФВЭ, FNAL и ISR [4] и по  $d\sigma/dt$  в области энергий ISR [5] проводилось путем выбора восьми свободных параметров:

$$\tilde{g} = 2\pi^2 g, \quad \tilde{g}_1 = 2\pi^2 g_1, \quad b, \quad b_1, \quad \beta(0), \quad \beta'(0), \quad \beta'_1(0).$$

Результаты вычислений приведены на рис. 1 и рис. 2. Численные значения параметров следующие:

$$\begin{aligned} \tilde{g} &= 0,096 \pm 0,008; & \tilde{g}_1 &= 57,4 \pm 1,2; \\ b &= 2,32 \pm 0,09 (\Gamma \varrho \varepsilon/c)^{-2}; & b_1 &= 2,93 \pm 0,08 (\Gamma \varrho \varepsilon/c)^{-2} \end{aligned} \quad (5)$$

$$\beta(0) = 1,37 \pm 0,01;$$

$$\beta'(0) = 0,04 \pm 0,01 (\Gamma_{\text{эф}}/c)^{-2};$$

$$\beta_1'(0) = 0,634 \pm 0,001 (\Gamma_{\text{эф}}/c)^{-2}; \quad s_0 = 14,6 \pm 0,1 \Gamma_{\text{эф}}^2.$$

Набор параметров (5) получен при фитировании по формуле (3) данных по  $\sigma_{tot}(s)$  начиная с  $s = 60 \Gamma_{\text{эф}}^2$  и данных по  $d\sigma/dt$  при  $\sqrt{s} = 53 \Gamma_{\text{эф}}$ .

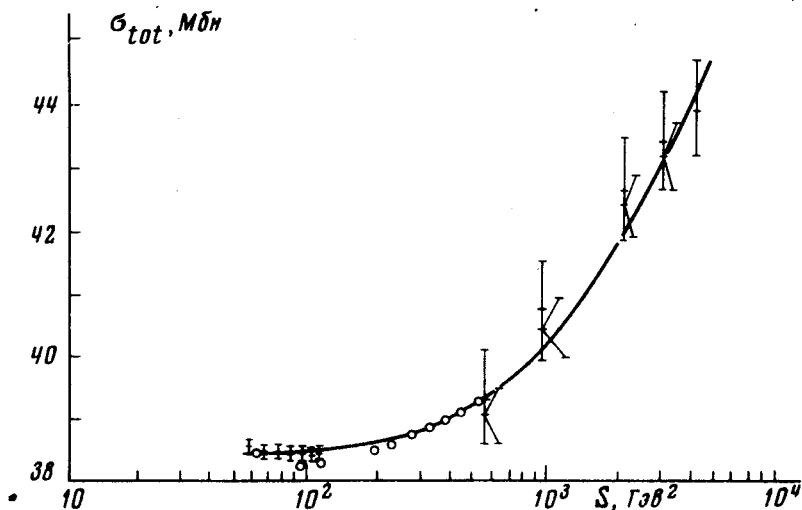


Рис. 1. Полное сечение pp-рассеяния

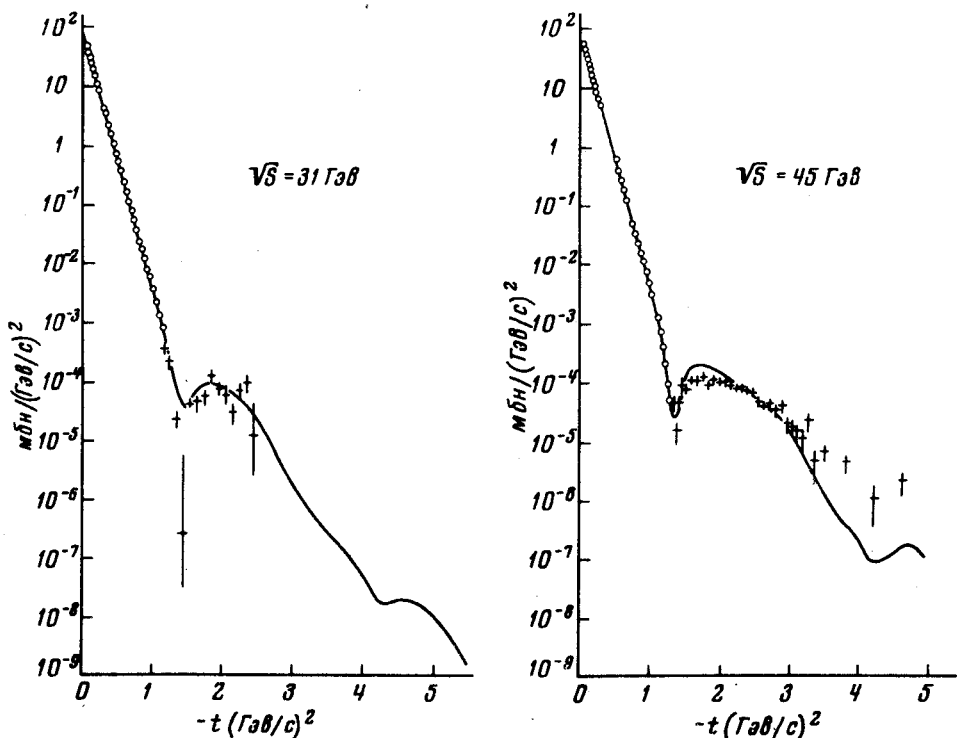


Рис. 2. Дифференциальное сечение упругого pp-рассеяния при энергиях ISR

Значения дифференциального сечения при энергиях  $\sqrt{s} = 23,5; 30,7; 44,9$ ;  $62 \text{ Гэв}$  были затем вычислены, используя полученные значения параметров (5). На рис. 2 приведены теоретические кривые для  $d\sigma/dt$  ( $pp$ ) при значениях  $\sqrt{s} = 30,7$  и  $45 \text{ Гэв}$ . Согласие с экспериментальными данными при  $\sqrt{s} = 23,5, 53$  и  $62 \text{ Гэв}$  столь же хорошее [6]. Асимптотический член в полном сечении  $\sigma_{tot}(s) = 0,74 \ln^2 s$ . С ростом энергии положение первого минимума перемещается в область меньших  $|t|$ , а величина сечения в области следующего за ним максимума увеличивается. Оба эти поведения согласуются с наблюдаемыми экспериментально. Дифференциальное сечение имеет второй минимум вблизи  $-t = 4(\text{Гэв}/c)^2$ .

Авторы выражают глубокую благодарность А.А.Логунову за внимание к работе и ценные советы. Авторы признательны В.И.Саврину за обсуждение.

Институт физики высоких энергий

Поступила в редакцию  
2 июля 1975 г.

## Литература

- [1] Н.Е.Тюрин, О.А.Хрусталев. Препринт ИФВЭ 74-119, Серпухов, 1974 г.
- [2] А.А.Логунов, В.И.Саврин, Н.Е.Тюрин, О.А.Хрусталев. ТМФ, 6, 157, 1971.
- [3] В.И.Саврин, Н.Е.Тюрин. ТМФ, 23, 348, 1975.
- [4] S.P.Denisov, S.V.Donskov, Yu.P.Gorin et. al. Phys. Lett., 36B, 415, 1971; A.S.Carroll, I.H.Chiang, T.F.Kycia. et. al. Phys. Rev. Lett., 33, 928, 1974; U.Amaldi, R.Biancastelli, C.Bosio et. al. Phys. Lett., 44B, 112, 1973. S.R.Amendolia, G.Bellettini, P.L.Braccini et. al. Phys. Lett., 44B, 119, 1973.
- [5] G.Barbiellini, M.Bozzo, P.Darrivlat et. al. Phys. Lett., 39B, 663, 1972. A.Bohm, M.Bozzo, R.Ellis et. al. Phys. Lett., 49B, 491, 1974.
- [6] V.F.Ednernal, S.M.Troshin, N.E.Tyurin, O.A.Khrustalev. Preprint IHEP 75-83, Serpukhov, 1975.